

Bis(ethylenediamine)palladium(II)-Bis(oxalato)palladate(II)의 결정구조

고기영 · 남궁해 · 한상곤
국민대학교 화학과

The Crystal Structure of Bis(ethylenediamine)palladium(II)-Bis(oxalato)palladate(II)

Ki Young Ko, Hae Namgung and Sang Gon Han

Department of Chemistry, Kookmin University, Seoul 136-702, Korea

요 약

Bis(ethylenediamine)palladium(II)-Bis(oxalato)palladate(II), $(\text{Pd}(\text{C}_2\text{H}_8\text{N}_2)_2 \cdot \text{Pd}(\text{C}_2\text{O}_4)_2)$ 의 단위 착이온 및 결정의 구조들을 X-선 회절법으로 연구하였다. 이 결정은 단사정계이고, 공간군은 $P2_1/c$ (군 번호=14)이다. 단위세포는 $a=6.959(2)$, $b=13.506(2)$, $c=15.339(2)$ Å, $\beta=99.94(3)$ 이며, $V=1420$ Å³, $F_w=509.04$, $D_c=2.380$ gcm⁻³, $F_{(000)}=992$, $\mu=25.46$ cm⁻¹, $Z=4$ 이다. 회절반점들의 세기는 흑연 단색화 장치가 있는 자동 4축 회절기로 얻었으며 Mo-K α X-선($\lambda=0.7107$ Å)을 사용하였다. 구조분석은 중금속법으로 풀었으며, 최소자승법으로 정밀화하였고, 최종 신뢰도 값들은 1472개의 회절반점에 대하여 $R=0.021$, $R_w=0.030$, $R_{\text{all}}=0.032$ 및 $S=2.10$ 이었다. 착음이온들은 근본적인 평면구조로써, 이들의 층진구조는 a-축을 따라서 면간거리가 3.41 Å인 이중체가 3.44 Å 간격으로 배열되어 있다.

Abstract

Crystal structure of Bis(ethylenediamine)palladium(II)-Bis(oxalato)palladate(II) has been determined by X-ray crystallography. Crystal data: $(\text{Pd}(\text{C}_2\text{H}_8\text{N}_2)_2 \cdot \text{Pd}(\text{C}_2\text{O}_4)_2)$, $F_w=509.04$, Monocline, Space Group $P2_1/c$ (No=14), $a=6.959(2)$, $b=13.506(2)$, $c=15.339(2)$ Å, $\beta=99.94(3)$, $Z=4$, $V=1420$ Å³, $D_c=2.380$ gcm⁻³, $\mu=25.46$ cm⁻¹, $F_{(000)}=992$. The intensity data were collected with Mo-K α radiation ($\lambda=0.7107$ Å) on an automatic four-circle diffractometer with a graphite monochromator. The structure was solved by Patterson method and refined by full matrix least-square methods using unit weights. The final R and S values were $R=0.021$, $R_w=0.030$, $R_{\text{all}}=0.032$ and $S=2.1$ for 1472 observed reflections. The essentially planar complex anions form diads of interplanar distances of 3.41 Å and their diads are stacked along a-axis with interplanar separation of 3.44 Å.

1. 서 론

평면구조를 갖는 d⁸-전이금속 착이온이나 유기라디칼 이온들은 여러가지 형태로 면간층침을 통해서 일차원 층진구조를 형성한다. 결합하는 상대이온들의 종류, 반대이온들의 종류, 산화도 및 층진구조 여하에 따라서 물리적 성질들은 비등방성을 보여주고

있다. 특히나, 전기전도성은 일차원 축을 따라서 반도체 내지는 금속성 성질을 보여주고 있어서 흥미를 끌어들였다.^{1,2)}

Magnus's Green Salt(MGS) $[\text{Pt}(\text{NH}_3)_4][\text{PtCl}_4]$ 의 두 가지 이온들이 이온간 등거리 3.26 Å로 일차원 층진구조를 형성함으로써 반도체 성질을 보여주고 있다.^{3,4)} 이의 유사체인 청동색인 $\text{Rb}_{1.75}[\text{Pt}$

(C₂O₄)₂·2H₂O의 경우에는 금속간 거리가 2.82 Å로써 백금 금속에서의 금속간 거리 2.78 Å에 상응하여 금속성 전도성을 보여주고 있다.⁵⁾ 따라서, 부분 착화합물을 잘 형성하는 착음이온에 평면구조를 갖는 착양이온을 반응시켰을 때 생성되는 물질의 구조를 밝히고자 하였다.

2. 실험

출발물질 Pd(en)₂Cl₂⁶⁾와 K₂[Pt(ox)₂]⁷⁾을 각각 제조하여, 이들을 14.9 mg(0.05 mmol)과 43.3 mg(0.05 mmol)을 60°C의 증류수 10 ml에 용해 반응시켜서 얻었다. 수용성 용액에서 재결정화로 구조연구에 적합한 암갈색의 선형 단결정을 얻었다. 사용한 모든 시약은 Aldrich사 제품이었다. 결정구조 분석을 위해서 결정의 선형축상을 회전축이 되도록 Enraf-Nonius CAD4-Diffractometer의 고니오메터 헤드에 부착시켜 25개의 회절반점을 찾아서 강도를 측정하고 최소 자승법으로 격자상수를 결정하였다. 회절반점들의 세기는 흑연 단색화 장치가 있는 상기 회절기로 얻었으며 Mo-Kα(λ=0.7107 Å) X-선을 사용하였다. 측정 과정에서 3605개의 회절반점들을 수집하였으며, SDP-Program package⁸⁾로 data reduction하였는데, 이때 표준반점들의 세기가 매시간당 0.0063%씩 감소하였기 때문에 이의 보정과 함께 Lorentz-Polarisation 인자를 보정하였다. 등가반점들의 세기를 평균하였을 때 얻어진 1810개의 반점을 가지고 중금속법으로 두 파라디움의 좌표를 결정하고 수소원자를 제외한 모든 원자들의 좌표를 결정하였다. 구조정밀화는 SDP-프로그램의 Weighting Scheme 3번인 Unit Weights(Cutoff=3.0)(F_o>3σ(F_o))를 이용하였을 때 얻어진 1472개 반점들로부터 모든 원소들의 좌표와 등방성 온도계수들을 정밀화하였다. 이후 F_o에 대한 흡수보정(Empirical Absorption Correction=DIFABS)을 한 후 모든 원소들의 좌표와 비등방성 온도계수들을 정밀화하였을 때 R=0.021, R_w=0.030, R_{all}=0.032 및 S=2.1으로써 모든 결합거리 및 각들은 적절한 값들이었다. 결정자료, 수소를 제외한 모든 원자좌표들의 좌표, 결합거리 및 각들을 각각 Table 1, 2 및 3에 각각 수록하였다. 비등방성 온도계수, 계산한

Table 1. Experiment data for the X-ray diffraction study

[Pd(en) ₂]·[Pd(ox) ₂]	
a=6.959(2) Å	
b=13.506(2) Å	
c=15.339(2) Å	
β=99.94(3) ^o	
V=1420 cm ³	
Crystal	=Pale yellow
Formula	=Pd ₂ C ₈ N ₈ O ₈ H ₁₆
Space group	=P2 ₁ /c (No=14)
Z	=4
Mol. Wt.	=509.04
Dcalc. (g/cm ³)	=2.380
μ (mm ⁻¹)	=25.456
F ₍₀₀₀₎	=992.0
Radiation	=Mo-Kα, 0.7107 Å
Monochromator	=Incident beam, Graphite
Mode	=θ/2θ
2θ-range(^o) in search	=1-22 ^o
HKL ranges	=H -7 to 7 =K 0 to 14 =L -14 to 14
Correction	=Lorentz, Polarisation, Linear decay (av. 1.00068 on I) =Empirical absorption (DIFABS) 0.899-1.036
Reflection	=3605 total =1810 unique =1472 with I>3σ(I)
Parameter refined	=199
R, wR, R(all) on F	=0.023, 0.030, 0.032
Maximum shift e.s.d	=0.0
Goodness of fit	=2.11
Δρ (e/Å ³)	=+0.59

수소좌표들을 Table 4 및 5에 수록하였다.

3. 결과 및 고찰

Table 2에 나타난 좌표로 계산한 Least Square Planes, 수소결합 및 선택된 torsion angles들을 각각 Table 6에 수록하였다. 팔라디움 에틸렌디아민 착양이온의 금속이온과 질소사이의 결합거리가 2.032-2.043 Å로써 Pd(en)₂Cl₂⁹⁾의 2.08 Å보다 현저히 감소하였는데 이는 질소와 인접 착음이온의 산소와의 수소결합 때문으로 생각된다. 팔라디움 옥살레이트 이온의 구조에 대하여 알려진 것이 없으

Table 2. Atomic coordinates and equivalent isotropic thermal parameters of nonhydrogen atoms

Atom	x	y	z	B(Å ²)
Pd1	0.22153(8)	0.36202(4)	0.24275(4)	2.44(1)
N1	0.0434(8)	0.2496(5)	0.1901(4)	3.1(1)
C1	0.101(1)	0.2188(7)	0.1048(5)	3.7(2)
C2	0.323(1)	0.2216(6)	0.1183(5)	3.4(2)
N2	0.3846(8)	0.3230(5)	0.1504(4)	2.9(1)
N3	0.4039(9)	0.4725(5)	0.2975(4)	3.4(1)
C3	0.309(1)	0.5259(6)	0.3653(6)	4.3(2)
C4	0.196(1)	0.4514(6)	0.4093(5)	4.0(2)
N4	0.0617(9)	0.3978(5)	0.3379(4)	3.7(1)
Pd2	0.71809(8)	0.42048(4)	0.00620(4)	2.42(1)
O1	0.6851(8)	0.3994(4)	-0.1242(3)	3.4(1)
C5	0.687(1)	0.3066(6)	-0.1439(5)	3.0(2)
C6	0.681(1)	0.2346(6)	-0.0667(5)	3.0(2)
O2	0.6755(7)	0.2754(4)	0.0087(3)	3.1(1)
O3	0.7511(7)	0.4384(4)	0.1368(3)	2.9(1)
C7	0.791(1)	0.5284(6)	0.1617(5)	2.8(2)
C8	0.805(1)	0.6026(6)	0.0868(5)	2.8(2)
O4	0.7728(7)	0.5654(4)	0.0079(3)	3.2(1)
O5	0.6908(8)	0.2747(4)	-0.2180(3)	4.3(1)
O6	0.6842(8)	0.1447(4)	-0.0775(4)	4.3(1)
O7	0.8180(8)	0.5552(4)	0.2389(3)	3.8(1)
O8	0.8459(9)	0.6891(4)	0.1038(4)	4.3(1)

Anisotropically refined atoms are given in the form of the isotropic equivalent displacement parameter defined as: $(4/3) * [a^2 * B(1,1) + b^2 * B(2,2) + c^2 * B(3,3) + ab(\cos \gamma) * B(1,2) + ac(\cos \beta) * B(1,3) + bc(\cos \alpha) * B(2,3)]$.

나, H₂C₂O₄·2H₂O¹⁰)나 K₂Pt(C₂O₄)₂·2H₂O¹¹) 또는 부분적으로 산화된 백금 옥살레이트 착화합물들^{12,13})의 알려진 결합거리 및 각들에 상응하였다. K₂C₂O₄·2H₂O¹⁴)와 같은 염의 옥살산 이온의 탄소와 산소사이의 거리는 1.25와 1.26 Å로써 거의 같은 값을 보

Table 3. Bond distances (Å) and Bond angles (°) with e.s.d.'s in parentheses

A. Bond distances (Å)			
Pd1----N1	2.037(6)	N1-----C1	1.49(1)
Pd1----N2	2.032(6)	C1-----C2	1.52(1)
Pd1----N3	2.043(6)	C2-----N2	1.49(1)
Pd1----N4	2.041(7)	N3-----C3	1.51(1)
		C3-----C4	1.51(1)
		C4-----N4	1.50(1)
Pd2----O1	1.994(5)	C6-----O2	1.289(9)
Pd2----O2	1.984(5)	C6-----O6	1.226(9)
Pd2----O3	1.992(5)	O3-----C7	1.290(9)
Pd2----O4	1.994(5)	C7-----C8	1.54(1)
O1-----C5	1.291(9)	C7-----O7	1.222(9)
C5-----C6	1.54(1)	C8-----O4	1.294(9)
C5-----O5	1.222(9)	C8-----O8	1.220(9)
B. Bond angles (°)			
N1--Pd1--N2	84.5(2)	Pd1--N1--C1	108.5(5)
N1--Pd1--N3	178.7(2)	N1--C1--C2	107.1(6)
N1--Pd1--N4	95.2(3)	C1--C2--N2	107.1(6)
N2--Pd1--N3	95.4(2)	Pd1--N2--C2	107.8(5)
N2--Pd1--N4	178.2(2)	Pd1--N3--C3	108.5(5)
N3--Pd1--N4	84.8(3)	N3--C3--C4	108.3(7)
		C3--C4--N4	107.6(6)
		Pd1--N4--C4	106.9(5)
O1--Pd2--O2	83.5(2)	C5--C6--O6	121.3(7)
O1--Pd2--O3	178.8(2)	O2--C6--O6	123.2(7)
O1--Pd2--O4	98.1(2)	Pd2--O2--C6	112.2(5)
O2--Pd2--O3	95.3(2)	Pd2--O3--C7	113.2(4)
O2--Pd2--O4	177.2(2)	O3--C7--C8	115.5(6)
O3--Pd2--O4	83.1(2)	O3--C7--O7	123.8(7)
Pd2--O1--C5	111.7(4)	C8--C7--O7	120.7(7)
O1---C5--C6	115.6(6)	C7--C8--O4	114.9(6)
O1---C5--O5	124.3(7)	C7--C8--O8	120.4(6)
C6---C5--O5	120.1(7)	O4--C8--O8	124.7(7)
C5---C6--O2	115.4(6)	Pd2--O4--C8	113.3(4)

Numbers in parentheses are estimated standard deviations in the least significant digits.

Table 4. General displacement parameter expressions-U's

	U(1,1)	U(2,2)	U(3,3)	U(1,2)	U(1,3)	U(2,3)
Pd1	0.0289(3)	0.0298(3)	0.0349(3)	0.0012(3)	0.0074(2)	0.0071(3)
N1	0.036(3)	0.040(3)	0.046(3)	-0.008(3)	0.012(3)	-0.002(3)
C1	0.041(4)	0.060(5)	0.039(4)	-0.011(4)	0.005(3)	-0.003(4)
C2	0.041(4)	0.045(5)	0.044(4)	0.000(4)	0.010(3)	-0.004(4)
N2	0.030(3)	0.041(4)	0.040(3)	0.002(3)	0.012(3)	0.000(3)
N3	0.046(3)	0.042(4)	0.041(3)	-0.010(3)	0.009(3)	-0.001(3)
C3	0.068(5)	0.044(5)	0.056(5)	-0.009(4)	0.025(4)	-0.008(4)
C4	0.063(5)	0.049(5)	0.043(4)	-0.007(4)	0.018(4)	0.002(4)
N4	0.051(4)	0.047(4)	0.050(4)	-0.003(3)	0.026(3)	-0.002(3)
Pd2	0.0318(3)	0.0316(3)	0.0278(3)	0.0003(3)	0.0033(2)	0.0002(3)
O1	0.054(3)	0.040(3)	0.034(3)	-0.000(3)	0.004(2)	-0.001(2)
C5	0.027(3)	0.053(5)	0.034(4)	-0.003(4)	0.004(3)	-0.009(4)

Table 4. Continued

	U(1,1)	U(2,2)	U(3,3)	U(1,2)	U(1,3)	U(2,3)
C6	0.023(3)	0.041(4)	0.047(4)	-0.002(3)	0.002(3)	-0.006(4)
O2	0.046(3)	0.036(3)	0.036(3)	-0.001(2)	0.008(2)	-0.001(2)
O3	0.045(3)	0.033(3)	0.032(2)	-0.005(2)	0.007(2)	0.000(2)
C7	0.033(4)	0.038(4)	0.034(4)	0.002(3)	0.002(3)	-0.002(3)
C8	0.031(4)	0.039(4)	0.036(4)	0.001(3)	0.001(3)	-0.002(3)
O4	0.051(3)	0.036(3)	0.033(3)	-0.001(3)	0.002(2)	0.001(2)
O5	0.055(3)	0.066(4)	0.041(3)	-0.008(3)	0.008(3)	-0.015(3)
O6	0.061(3)	0.040(3)	0.059(3)	-0.002(3)	0.003(3)	-0.008(3)
O7	0.064(3)	0.044(3)	0.036(3)	-0.001(3)	0.008(3)	-0.008(3)
O8	0.078(4)	0.034(3)	0.050(3)	-0.011(3)	0.007(3)	-0.005(3)

The form of the anisotropic displacement parameter is: $\exp[-2\text{PI}2\{h^2a^2U(1,1)+k^2b^2U(2,2)+l^2c^2U(3,3)+2hkabU(1,2)+2hlacU(1,3)+2klbcU(2,3)\}]$ where a, b and c are reciprocal lattice constants.

Table 5. Calculated atomic coordinates and isotropic thermal parameters of hydrogen atoms

Atom	x	y	z	B(Å ²)
H1	-0.0951	0.2726	0.1790	4*
H2	0.0572	0.1923	0.2320	4*
H3	0.0452	0.2654	0.0564	4*
H4	0.0536	0.1502	0.0888	4*
H5	0.3685	0.2078	0.0611	4*
H6	0.3792	0.1710	0.1632	4*
H7	0.5261	0.3228	0.1774	3*
H8	0.3621	0.3708	0.0999	3*
H9	0.4272	0.5198	0.2503	4*
H10	0.5310	0.4434	0.3267	4*
H11	0.2184	0.5779	0.3355	5*
H12	0.4112	0.5574	0.4105	5*
H13	0.1183	0.4860	0.4493	5*
H14	0.2875	0.4034	0.4445	5*
H15	0.0106	0.3363	0.3623	4*
H16	-0.0500	0.4414	0.3125	4*

Starred atoms were refined isotropically.

여주고 있으나, 본 물질에서의 해당 결합거리들은 1.289-1.291 Å과 1.222-1.224 Å로 나타나는데, 전자는 산소가 금속이온과 직접적인 결합 때문인 것으로 판단된다. 착양이온과 착음이온의 두 가지 평면구조들의 Least Square Planes들의 이면각은 55.4(2)°이었으며, 각 이온들의 두 가지 Rings들의 이면각들은 14.2(8)과 10.3(2)°로써 비슷한 평면성을 보여주고 있다. Unit Cell내 충전구조와 착이온들의 구조를 ORTEP¹⁵⁾ program을 이용하여 Fig. 1과 2에 표시하였다. Fig. 1의 점선들은 질소와 산소 사이의 수소결합으로 판단되어 Table 6B에 요약하였다. 착음이온의 면간중첩 거리는 3.41 Å로써 이중

Table 6. Least-square planes, selected torsion angle (°) and Intermolecular contacts. The e.s.d.'s are in parentheses

A. Crystallographic equation of least square			
-2.8949x+8.9178y-8.3495z=0.4792			
Pd1	0.0006	N3	0.0063
N1	0.0061	C3	0.0085
C1	0.0082	C4	0.0083
C2	0.0079	N4	0.0065
N2	0.0059		
-6.8512x+1.8391y+0.9494z=-4.2847			
Pd2	0.0006	O3	0.0049
O1	0.0054	C7	0.0071
C5	0.0071	C8	0.0071
C6	0.0070	O4	0.0052
O2	0.0050	O7	0.0056
O5	0.0056	O8	0.0061
O6	0.0058	Dihedral angle=55.4(2)°	
B. Intermolecular contacts (Symmetry codes in parentheses)			
N1--O5	3.051(9)	N2--O5	2.978(7)
	(-2-1 0 0)		(-2 0 0 0)
N1--O7	2.941(8)	N3--O6	2.949(8)
	(2 1-1 0)		(-2 0 0 0)
N2--O3	3.026(8)	N4--O7	2.970(8)
	(1 0 0 0)		(1-1 0 0)
N2--O4	2.907(7)	N4--O8	2.994(8)
	(-1 1 1 0)		(2 1-1 0)
C. Selected torsion angles			
N2-Pd1-N1-C1	-12.7(5)	N4-Pd1-N3-C3	-7.8(5)
Pd1-N1-C1-C2	39.5(7)	Pd1-N3-C3-C4	34.9(7)
N1-C1-C2-N2	-54.8(8)	N3-C3-C4-N4	-53.5(8)
C1-C2-N2-Pd1	43.2(6)	C3-C4-N4-Pd1	45.3(7)
O1-C5-C6-O2	0.2(9)	O3-C7-C8-O4	0.8(9)
O1-C5-C6-O6	-179.2(7)	O3-C7-C8-O8	-178.7(7)
O5-C5-C6-O2	-179.5(6)	O7-C7-C8-O4	-179.6(7)
O5-C5-C6-O6	1.1(1)	O7-C7-C8-O8	1.1(1)
C5-C6-O2-Pd2	-9.3(7)	C7-C8-O4-Pd2	-1.1(7)

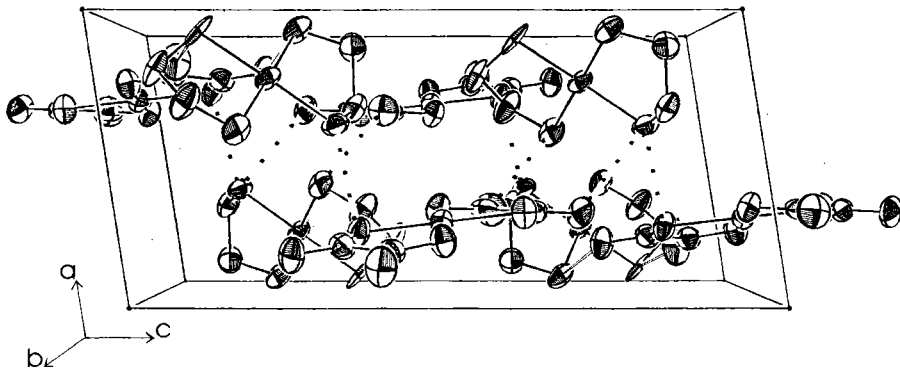


Fig. 1. Unit cell packing structure, viewing along to the b-axis, displacement ellipsoid with 50% probability level (The dotted line is hydrogen bonds).

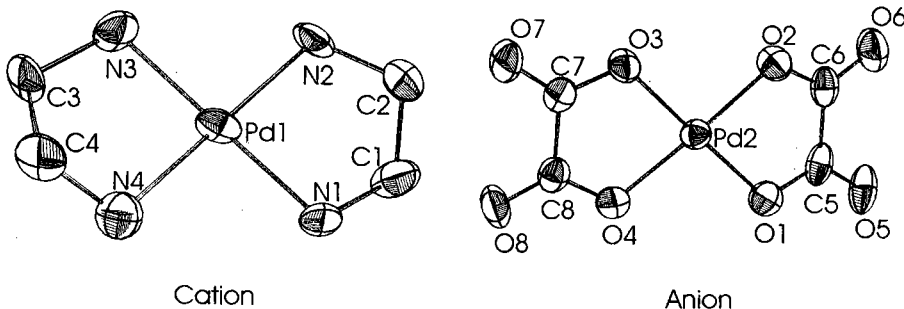


Fig. 2. Ortep view of title compound with numbering scheme and displacement ellipsoids drawn at the 50% probability level.

체를 이루고 있으며, 두 이중체들은 3.44 Å 간격으로 a축을 따라서 중첩되어 있다. 부분 산화 금속 착화합물들에서 균일한 면간거리를 보여주는데 반하여 이들 면간 거리는 크지만 비슷한 면간 중첩거리를 보여주는 것은 착양이온의 크기, 이온성 및 수소결합의 영향으로 판단된다.

감사의 글

본 연구는 1998년도 국민대학교 학술연구비 지원으로 이루어졌으며 이에 감사드립니다.

참고문헌

- 1) Miller, J. and Epstein, A. J., "Synthesis and Properties of Low-Dimensional Materials", *Ann. N.Y. Acad. Sci.*, **313**, 1 (1978).
- 2) Keller, H. J., "Chemistry and Physics of One-

- Dimensional Metals", Vol. B25, p. 1, Plenum Press, 1977.
- 3) Atoji, M., Richardson, J. W. and Rundle, R., *J. Am. Chem. Soc.*, **9**, 3017 (1957).
- 4) Yamada, S., *J. Amer. Chem. Soc.*, **73**, 1579 (1951).
- 5) Williams, J. M. and Musselman, R. L., *J. Chem. Soc. Chem. Comm.*, 186 (1977).
- 6) Kurnakow, N. S. and Gwosdarew, N. J., *Z. Anorg. Allgem. Chem.*, **22**, 384 (1899).
- 7) Werner, A., *Z. Anorg. Allgem. Chem.*, **12** 53 (1896).
- 8) Frenz, B. A., Enraf-Nonius SDP-PLUS Structure Determination Program Package, Version 3.0, Enraf-Nonius, Delft, The Netherlands, 1985.
- 9) Ibal, J., MacDougall, M. and Scrimgeour, S., *Acta Cryst.*, **B31**, 1672 (1975).
- 10) Delaplane, R. G. and Ibers, J. A., *Acta Cryst.*, **B25**, 2423 (1969).
- 11) Mattes R. and Krogmann, K., *Z. Anorg.*

- Allgem. Chem.*, **332**, 247 (1964).
- 12) Kobayashi, A., Kondo, H., Sasaki, Y., Kobayashi, H., Underhill, A. E. and Watkins, D. M., *Bull. Chem. Soc. Jap.*, **55**, 2074 (1982).
- 13) William, J. M. and Musselman, R. L., *J. Chem. Soc. Chem. Comm.*, 186 (1977).
- 14) Pedersen, B. F., *Acta Chem. Scand.*, **18**, 1635 (1964).
- 15) Johnson, C. K., ORTEP Report-ORNL-5138, Oak Ridge National Laboratory, Tennessee, 1976.